

Е.Ю. ТАРСИС, канд. техн. наук, ст. преп., НТУ «ХПИ», Харьков

ИСПОЛЬЗОВАНИЕ ТОЧНОГО РЕШЕНИЯ КОНТАКТНОЙ ЗАДАЧИ В МЕТОДЕ R – ФУНКЦИЙ ДЛЯ СОСТАВНЫХ ТЕЛ КОНЕЧНЫХ РАЗМЕРОВ

Вплив геометричних параметрів на напружено-деформований стан двошарового пружного тіла з неідеальним контактом між шарами, аналізується за допомогою метода R-функцій на базі варіаційного принципу Рейснера з врахуванням точних розв'язків.

Influence of geometrical parameters on the stress-strain state of two-layered elastic body with nonideal contact between layers is analyzed by using R-function method based on variational Reissner's principle. The structures of solutions with using of exact solutions are build.

Цель исследований и постановка задачи. Целью данной работы является анализ напряженно-деформированного состояния, возникающего при контактно-взаимодействии упругих частей составного тела конечных размеров, соединенных посредством натяга при изменении их геометрических параметров. Решение контактной задачи осуществляется в рамках метода R-функций на базе вариационного принципа Рейснера [1] с использованием точных решений для бесконечной внешней области. Методика построения структурной модели приведена в работе [2]. Построенные структуры точно удовлетворяют всем граничным и контактными условиям задачи. Напомним, что методика предусматривает суперпозицию двух решений. Первое из них является решением этой же задачи для бесконечной внешней области, второе – отвечает телу конечных размеров. При этом на внешнем контуре задаются нагрузки, которые компенсируют напряжения первого решения, а натяг на внутреннем контуре отсутствует.

В данной работе рассмотрены два варианта конечных геометрических форм внешней границы $\partial\Omega_{(2)}$ (см. рис. 1). Для описания геометрии контактирующих областей введем следующие опорные области:

$$\Omega_1 = \left[f_1 = \frac{f_1^*}{\sqrt{(f_1^*)^2 + |\nabla f_1^*|^2}} \geq 0 \right], \text{ где } f_1^* = -x^2 - y^2 + R^p \text{ для варианта 1,}$$

$$\Omega_1 = \left[f_1 = \frac{a^2 - x^2}{2a} \geq 0 \right]; \Omega_2 = \left[f_2 = \frac{b^2 - y^2}{2b} \geq 0 \right] \text{ для варианта 2 и}$$

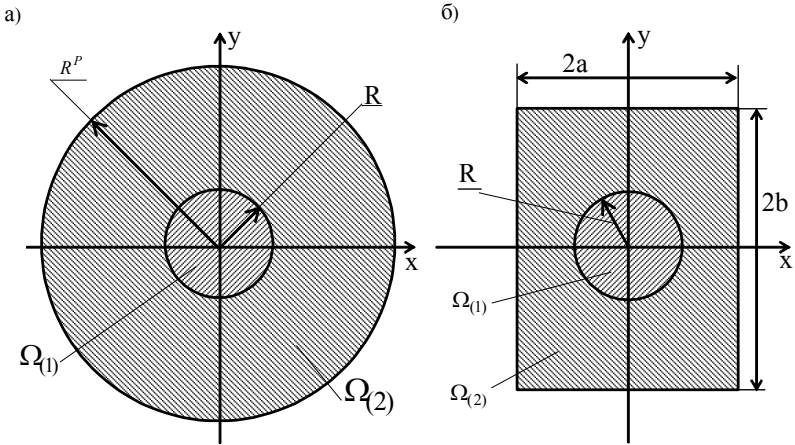


Рисунок 1 – Варианты форм внешней границы: а – вариант 1, б – вариант 2.

$$\Omega_3 = \left[f_3 = \frac{f_3^*}{\sqrt{(f_3^*)^2 + |\nabla f_3^*|^2}} \geq 0 \right], \text{ где } f_3^* = -x^2 - y^2 + R^2 \text{ для обоих ва-}$$

риантов. Для варианта 2 дополнительно вводятся опорные области:
 $\Omega_4 = [f_4 = -y + b \geq 0]$; $\Omega_5 = [f_5 = y + b \geq 0]$; $\Omega_6 = [f_6 = -x + a \geq 0]$;
 $\Omega_7 = [f_7 = x + a \geq 0]$.

В качестве структур решения используются структуры работы [2]:

$$\begin{aligned} u_x^{(1)} &= u_x^{uu} + u_x^{(1)o}, \quad u_y^{(1)} = u_y^{uu} + u_y^{(1)o}, \quad \sigma_x^{(1)} = \sigma_x^{uu} + \sigma_x^{(1)o}, \quad \sigma_y^{(1)} = \sigma_y^{uu} + \sigma_y^{(1)o}, \\ \sigma_{xy}^{(1)} &= \sigma_{xy}^{uu} + \sigma_{xy}^{(1)o}, \quad u_x^{(2)} = u_x^{pp} + u_x^{(2)o}, \quad u_y^{(2)} = u_y^{pp} + u_y^{(2)o}, \quad \sigma_x^{(2)} = \sigma_x^{pp} + \sigma_x^{(2)o}, \\ &\sigma_y^{(2)} = \sigma_y^{pp} + \sigma_y^{(2)o}, \quad \sigma_{xy}^{(2)} = \sigma_{xy}^{pp} + \sigma_{xy}^{(2)o}. \end{aligned}$$

В этих структурах для варианта 1 компенсирующие напряжения имеют вид

$$\begin{aligned} \sigma_x^k &= \frac{4\varepsilon^* \mu R^2}{R \left[\frac{\mu}{\mu_1} (\chi_1 - 1) + 2 \right] R^{p2}} \cdot \left((l_{(2)}^\sigma)^2 - (m_{(2)}^\sigma)^2 \right); \\ \sigma_y^k &= - \frac{4\varepsilon^* \mu R^2}{R \left[\frac{\mu}{\mu_1} (\chi_1 - 1) + 2 \right] R^{p2}} \cdot \left((l_{(2)}^\sigma)^2 - (m_{(2)}^\sigma)^2 \right); \end{aligned}$$

$$\sigma_{xy}^k = 2 \cdot \frac{4\varepsilon^* \mu R^2}{R \left[\frac{\mu}{\mu_1} (\chi_1 - 1) + 2 \right] R^{p2}} \cdot l_{(2)}^\sigma m_{(2)}^\sigma, \quad \omega_{(1,2)} = f_3; \quad \omega_{(2)}^\sigma = f_1,$$

а для варианта 2 –

$$\begin{aligned} \sigma_x^{(2)o} &= \sigma_x^k \frac{\omega_{(1,2)} \omega_{(2)}^{\sigma 2}}{\omega_{(2)}^{\sigma 1} + \omega_{(1,2)} \omega_{(2)}^{\sigma 2}} + \left[\left(l_{(1,2)} \right)^2 - \left(m_{(1,2)} \right)^2 \right] \Phi_8 + \left(m_{(1,2)} \right)^2 \Phi_9 \left] \frac{\omega_{(2)}^\sigma}{\omega_{(2)}^\sigma + \omega_{(1,2)}} + \right. \\ &+ \Phi_{10} \omega_{(1,2)} \omega_{(2)}^{\sigma 1}; \\ \sigma_{xy}^{(2)o} &= \sigma_{xy}^{k1} \cdot \frac{\omega_{(1,2)} \omega_{(2)}^{\sigma 2} \omega_{(2)}^7}{\omega_{(2)}^6 + \omega_{(1,2)} \omega_{(2)}^{\sigma 2} \omega_{(2)}^7} + \sigma_{xy}^{k2} \cdot \frac{\omega_{(1,2)} \omega_{(2)}^{\sigma 2} \omega_{(2)}^6}{\omega_{(2)}^7 + \omega_{(1,2)} \omega_{(2)}^{\sigma 2} \omega_{(2)}^6} + \\ &+ \sigma_{xy}^{k3} \cdot \frac{\omega_{(1,2)} \omega_{(2)}^{\sigma 1} \omega_{(2)}^5}{\omega_{(2)}^4 + \omega_{(1,2)} \omega_{(2)}^{\sigma 1} \omega_{(2)}^5} + \sigma_{xy}^{k4} \cdot \frac{\omega_{(1,2)} \omega_{(2)}^{\sigma 1} \omega_{(2)}^4}{\omega_{(2)}^5 + \omega_{(1,2)} \omega_{(2)}^{\sigma 1} \omega_{(2)}^4} + \\ &+ l_{(1,2)} m_{(1,2)} \left(2\Phi_8 - \Phi_9 \right) \frac{\omega_{(2)}^\sigma}{\omega_{(2)}^\sigma + \omega_{(1,2)}} + \Phi_{12} \omega_{(1,2)} \omega_{(2)}^\sigma, \end{aligned}$$

компенсирующие напряжения имеют вид

$$\begin{aligned} \sigma_x^k &= \frac{4\varepsilon^* \mu}{R \left[\frac{\mu}{\mu_1} (\chi_1 - 1) + 2 \right]} \cdot \frac{R^2 (a^2 - y^2)}{(a^2 + y^2)^2}; \\ \sigma_y^k &= \frac{4\varepsilon^* \mu}{R \left[\frac{\mu}{\mu_1} (\chi_1 - 1) + 2 \right]} \cdot \frac{R^2 (b^2 - x^2)}{(x^2 + b^2)^2}; \\ \sigma_{xy}^k &= \left\{ \sigma_{xy}^{k1} \text{ на } \omega_{(2)}^6; \sigma_{xy}^{k2} \text{ на } \omega_{(2)}^7; \sigma_{xy}^{k3} \text{ на } \omega_{(2)}^4; \sigma_{xy}^{k4} \text{ на } \omega_{(2)}^5 \right\}, \end{aligned}$$

где

$$\begin{aligned} \sigma_{xy}^{k1} &= \frac{8\varepsilon^* \mu}{R \left[\frac{\mu}{\mu_1} (\chi_1 - 1) + 2 \right]} \cdot \frac{R^2 ay}{(a^2 + y^2)^2}, \quad \sigma_{xy}^{k2} = - \frac{8\varepsilon^* \mu}{R \left[\frac{\mu}{\mu_1} (\chi_1 - 1) + 2 \right]} \cdot \frac{R^2 ay}{(a^2 + y^2)^2} \\ \sigma_{xy}^{k3} &= \frac{8\varepsilon^* \mu}{R \left[\frac{\mu}{\mu_1} (\chi_1 - 1) + 2 \right]} \cdot \frac{R^2 xb}{(x^2 + b^2)^2}, \quad \sigma_{xy}^{k4} = - \frac{8\varepsilon^* \mu}{R \left[\frac{\mu}{\mu_1} (\chi_1 - 1) + 2 \right]} \cdot \frac{R^2 xb}{(x^2 + b^2)^2}, \end{aligned}$$

Φ_i ($i = \overline{8,12}$) – неопределенные компоненты, $\omega_{(1,2)} = f_3$, $\omega_{(2)}^4 = f_4$, $\omega_{(2)}^5 = f_5$, $\omega_{(2)}^6 = f_6$, $\omega_{(2)}^7 = f_7$, $\omega_{(2)}^{\sigma_1} = f_1$, $\omega_{(2)}^{\sigma_2} = f_2$, $\omega_{(2)}^\sigma = \omega_{(2)}^{\sigma_1} \cdot \omega_{(2)}^{\sigma_2}$.

В этих выражениях $\varepsilon^* = -\delta_{0n}^{1,2}$ (малая величина порядка упругих перемещений),

$$\mu = \frac{E^{(2)}}{2(1+\nu^{(2)})}; \mu_1 = \frac{E^{(1)}}{2(1+\nu^{(1)})}; \chi_1 = \frac{3-\nu^{(1)}}{1+\nu^{(1)}}.$$

Неопределенные компоненты структур (для варианта 1 их количество составляет 17, а для варианта 2 – 16) представляются в виде разложений по полиномам Чебышева, а коэффициенты в этих разложениях определяются методом Ритца из условия стационарности функционала Рейсснера [3].

Результаты расчетных исследований. Исследовалось влияние размеров внешней границы на различия между результатами точного решения для бесконечной области и приближенного для конечной. С этой целью для вариантов 1 и 2 были проведены расчеты при следующих исходных данных. Упругие характеристики составного тела принимались равными $E^{(1)} = E^{(2)} = 1 \cdot 10^5 \text{ МПа}$, $\nu^{(1)} = \nu^{(2)} = 0.3$, радиус отверстия – $R = 5 \text{ см}$, величина натяга – 0.1 см . Параметры внешней границы для варианта 1 принимались для первого расчета $R^p = 7.5 \text{ см}$ и $R^p = 20 \text{ см}$ для второго расчета, а для варианта 2 $a = b = 7.5 \text{ см}$ для первого расчета, $a = b = 10 \text{ см}$ для второго расчета и $a = b = 20 \text{ см}$ для третьего расчета.

Для варианта 1 значения контактных напряжений оказались в обоих расчетах постоянными по контуру, что обусловлено симметрией задачи, и составили: для $R^p = 7.5 \text{ см}$ – $0.67 \cdot 10^3 \text{ МПа}$, а для $R^p = 20 \text{ см}$ – $0.97 \cdot 10^3 \text{ МПа}$. Распределения нормальных напряжений в сечении $x = 0$ для указанных расчетов и для точного решения приведены на рис. 2.

Для варианта 2 распределение контактных напряжений по контуру отверстия для указанных расчетов и для точного решения приведено на рис.3, а нормальных напряжений для внешнего тела в сечении $x = 0$ на рис. 4.

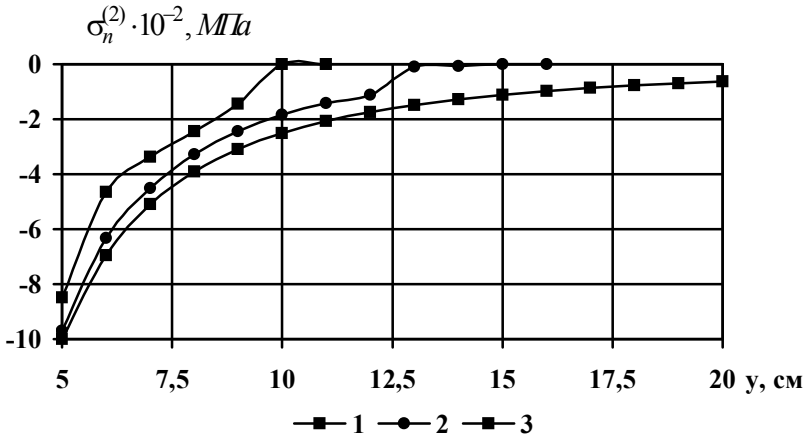


Рисунок 2 – Нормальные напряжения для внешнего тела в сечении $x = 0$: 1,2 – номера расчетов, 3 – точное решение.

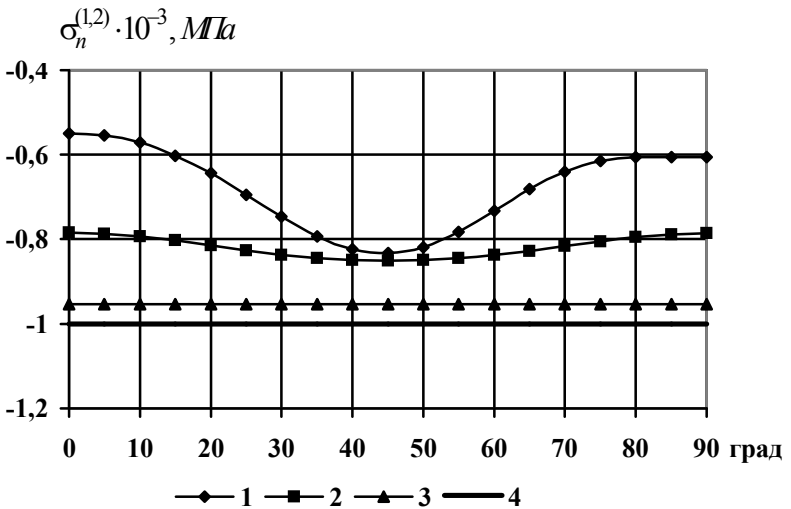


Рисунок 3 – Контактные напряжения на контуре отверстия: 1,2,3 – номера расчетов, 4 – точное решение.

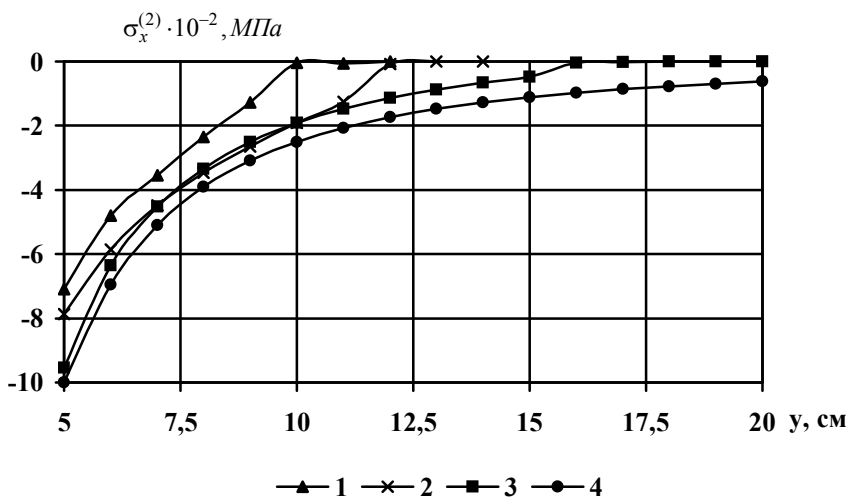


Рисунок 4 – Нормальные напряжения для внешнего тела в сечении $x = 0$: 1,2,3 – номера расчетов, 4 – точное решение.

Выводы. Из полученных результатов следует:

- 1) при увеличении размеров внешних границ контактные напряжения, соответствующие приближенному решению для конечной внешней области по значениям и характеру их распределения приближаются к контактным напряжениям точного решения для бесконечной;
- 2) с уменьшением размеров внешних границ различия становятся существенными, что ограничивает пределы применимости точного решения;
- 3) использование точных решений в указанной постановке повышает эффективность и точность расчетных исследований.

Список литературы: 1. Тарсис Е.Ю. Структурная модель неидеального контакта упругих тел на основе метода R-функций. – Вісник Інженерної академії України. – 2002.-КВ№2635.- С.641–644. 2. Тарсис Е.Ю. Смешанный вариационный подход к решению задач для составного тела на основе метода R-функций // Пробл. машиностроения.-2002.-т.4.-№3-4.-С.116-123. 3. Тарсис Е.Ю. Метод R-функций для решения задач теории упругости составных тел на основе смешанных вариационных принципов // Доповіді НАН України.-2002.-№1.-С.63-69.

Поступила в редколлегию 06.10.2010